

Национальный исследовательский
Томский государственный университет

МАТЕМАТИЧЕСКАЯ МОДЕЛЬ И ЧИСЛЕННЫЙ МЕТОД ДЛЯ РАСЧЕТА ТЕЧЕНИЯ В РУСЛЕ РЕКИ

Старченко А. В., Чуруксаева В. В.

Актуальность работы

2

Знание структуры течения реки необходимо для:

- построения качественного прогноза появления и размеров локальных зон весеннего затопления при загромождении льдинами речного русла;
- оценки возможной вариации рельефа дна, что важно для речного судоходства и определения зон безопасного отдыха;
- предсказания характера распространения примеси, попадающей в речной поток.

Использование методов математического моделирования позволяет избежать экономических и технологических трудностей, с которыми сопряжено экспериментальное исследование водоемов.



Дноуглубительные работы

Наводнение во время ледохода



Сброс
СТОЧНЫХ
ВОД



Цель работы:

4

численное исследование турбулентного течения и распространения примеси в речном потоке.

Для достижения цели в рамках представляемой работы решены следующие задачи:

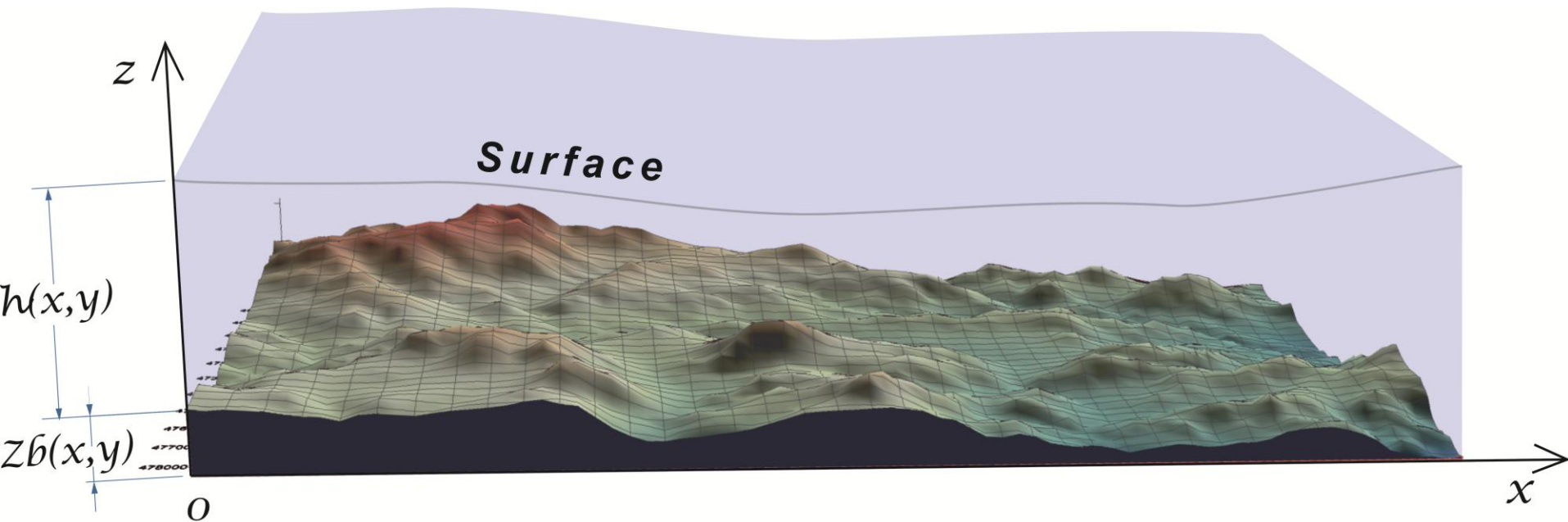
- Построена математическая модель течения в русле реки
- Построены конечно-объемные аппроксимации уравнений модели
- Разработан численный метод решения дискретных уравнений
- Метод протестирован для условий, приближенных к условиям течения в реке

Физическая постановка задачи

5

Рассматривается турбулентное течение ($Re=100000$) воды в канале с нерегулярным дном. Начальная концентрация примеси в потоке принимается равной 0.

Требуется найти поле скоростей течения, глубину и распределение примеси в потоке.



Математическая модель руслового течения реки

6

В основу исследования положена двумерная нестационарная модель на основе уравнений мелкой воды

$$\frac{\partial h}{\partial t} + \frac{\partial(h\bar{u})}{\partial x} + \frac{\partial(h\bar{v})}{\partial y} = 0,$$

$$\frac{\partial(h\bar{u})}{\partial t} + \frac{\partial(h\bar{u}^2)}{\partial x} + \frac{\partial(h\bar{u}\bar{v})}{\partial y} = -gh \frac{\partial(z_b + h)}{\partial x} + \frac{1}{\rho} \frac{\partial(h\bar{\tau}_{xx})}{\partial x} +$$

$$\frac{1}{\rho} \frac{\partial(h\bar{\tau}_{xy})}{\partial y} + \frac{(\tau_{xz})_s - (\tau_{xz})_b}{\rho} - \frac{1}{\rho} \frac{\partial(z_b + h)}{\partial x} (\tau_{xx})_s - \frac{1}{\rho} \frac{\partial(z_b + h)}{\partial y} (\tau_{xy})_s, z_b(x, y) - \text{рельеф дна};$$

$$\frac{\partial(h\bar{v})}{\partial t} + \frac{\partial(h\bar{v}\bar{u})}{\partial x} + \frac{\partial(h\bar{v}^2)}{\partial y} = -gh \frac{\partial(z_b + h)}{\partial y} + \frac{1}{\rho} \frac{\partial(h\bar{\tau}_{yx})}{\partial x} +$$

$$\frac{1}{\rho} \frac{\partial(h\bar{\tau}_{yy})}{\partial y} + \frac{(\tau_{yz})_s - (\tau_{yz})_b}{\rho} - \frac{1}{\rho} \frac{\partial(z_b + h)}{\partial x} (\tau_{yx})_s - \frac{1}{\rho} \frac{\partial(z_b + h)}{\partial y} (\tau_{yy})_s, (\tau_{yz})_s, (\tau_{yz})_b, (\tau_{yz})_s, (\tau_{yz})_b -$$

$h(x, y, t)$ – глубина;

$\bar{u}(x, y, t), \bar{v}(x, y, t)$ – осредненные

по глубине значения компонент вектора

скорости $\vec{W} = (u, v)$

$z_b(x, y)$ – рельеф дна;

ρ – плотность;

$\bar{\tau}_{xx}, \bar{\tau}_{xy}, \bar{\tau}_{yx}, \bar{\tau}_{yy}$ – осредненные значения

напряжений Рейнольдса;

$(\tau_{yz})_s, (\tau_{yz})_b, (\tau_{yz})_s, (\tau_{yz})_b$ – трение на поверхности и дне, соответственно

Гипотеза Буссинеска и замыкание модели

7

$$\frac{1}{\rho} \bar{\tau}_{ij} = \bar{\nu} \left(\frac{\partial \bar{u}_i}{\partial x_j} + \frac{\partial \bar{u}_j}{\partial x_i} \right) - \frac{2}{3} \bar{k} \delta_{ij}$$

Уравнение переноса кинетической энергии турбулентности

$$\frac{\partial(h\bar{k})}{\partial t} + \frac{\partial(h\bar{k}\bar{u})}{\partial x} + \frac{\partial(h\bar{k}\bar{v})}{\partial y} = \frac{\partial}{\partial x} \left(h \frac{\bar{\nu}_t}{\sigma_k} \frac{\partial \bar{k}}{\partial x} \right) + \frac{\partial}{\partial y} \left(h \frac{\bar{\nu}_t}{\sigma_k} \frac{\partial \bar{k}}{\partial y} \right) + (P_h + P_{kv} - \bar{\varepsilon})h$$

Уравнение переноса диссипации кинетической энергии

$$\frac{\partial(h\bar{\varepsilon})}{\partial t} + \frac{\partial(h\bar{\varepsilon}\bar{u})}{\partial x} + \frac{\partial(h\bar{\varepsilon}\bar{v})}{\partial y} = \frac{\partial}{\partial x} \left(h \frac{\bar{\nu}_t}{\sigma_\varepsilon} \frac{\partial \bar{\varepsilon}}{\partial x} \right) + \frac{\partial}{\partial y} \left(h \frac{\bar{\nu}_t}{\sigma_\varepsilon} \frac{\partial \bar{\varepsilon}}{\partial y} \right) + \left(c_1 \frac{\bar{\varepsilon}}{\bar{k}} P_h + P_{\varepsilon v} - c_2 \frac{\bar{\varepsilon}^2}{\bar{k}} \right) h$$

Турбулентная вязкость $\bar{\nu}_t = c_\mu \frac{\bar{k}^2}{\bar{\varepsilon}}$

Параметры и константы модели $\sigma_\varepsilon = 1.3; \sigma_k = 1.0; c_1 = 1.44; c_2 = 1.92; c_\mu = 0.09; c_\Gamma = 0.135;$

$$P_h = \nu_t \left[2 \left(\frac{\partial \bar{u}}{\partial x} \right)^2 + 2 \left(\frac{\partial \bar{v}}{\partial y} \right)^2 + \left(\frac{\partial \bar{u}}{\partial y} + \frac{\partial \bar{v}}{\partial x} \right)^2 \right] \quad P_{kv} = c_k \frac{v_*^3}{h}; P_{\varepsilon v} = c_\varepsilon \frac{v_*^4}{h}; c_k = \frac{1}{\sqrt{c_f}}; c_\varepsilon = 3.6 \frac{c_2}{c_f^{3/4}} \sqrt{c_\mu}; \bar{\Gamma}_t = c_\Gamma v_* h.$$

Уравнение концентрации примеси

8

$$\frac{\partial(h\bar{c})}{\partial t} + \frac{\partial(h\bar{u}\bar{c})}{\partial x} + \frac{\partial(h\bar{v}\bar{c})}{\partial y} = \frac{\partial}{\partial x} \left(h\bar{\Gamma}_t \frac{\partial\bar{c}}{\partial x} \right) + \frac{\partial}{\partial y} \left(h\bar{\Gamma}_t \frac{\partial\bar{c}}{\partial y} \right),$$

$\bar{\Gamma}_t$ – коэффициент турбулентной диффузии.

Аппроксимация конвективных слагаемых

Схема MLU

$$(u\Phi)_w = \begin{cases} (u)_w \left[\Phi_W + \frac{1}{2} S_w \delta x \right], & u_w > 0; \\ (u)_w \left[\Phi_P - \frac{1}{2} S_w \delta x \right], & u_w \leq 0; \end{cases}$$

$$S_w = \min \text{mod} \left[(a+b)/2, 2 \min \text{mod} [a, b] \right]$$

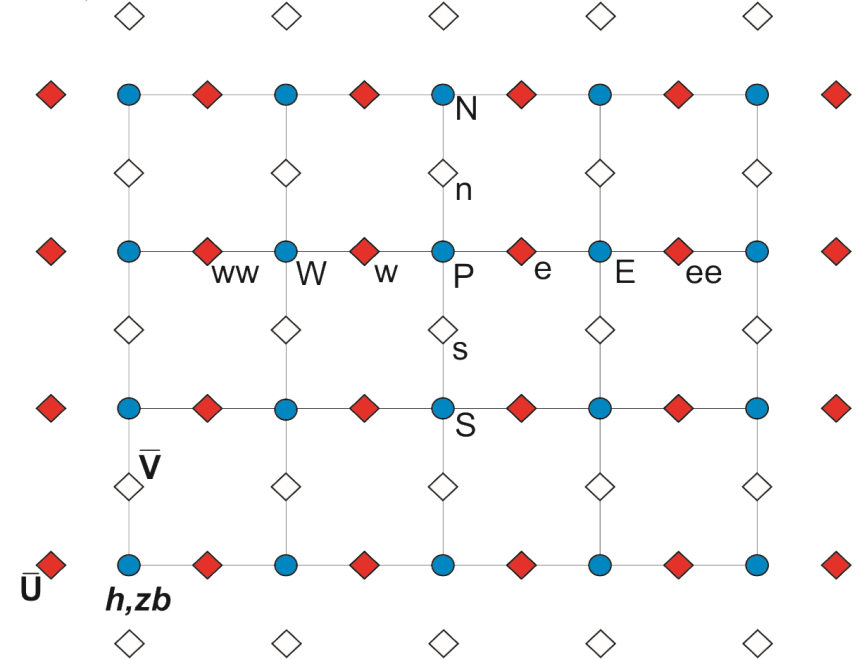
– предельное значение между

наклонами a, b :

$$a = \frac{\Phi_P - \Phi_W}{\delta x}; b = \begin{cases} \frac{\Phi_W - \Phi_{WW}}{\delta x}, & u_w > 0, \\ \frac{\Phi_P - \Phi_W}{\delta x}, & u_w \leq 0. \end{cases}$$

Схема MUSCL

$$(u\Phi)_w = \begin{cases} (u)_w \left[-\frac{1}{6} (\Phi_W + \Phi_P) + \frac{1}{3} \Phi_E \right], & u_w > 0; \\ (u)_w \left[\frac{1}{6} (\Phi_{EE} + \Phi_P) + \frac{1}{3} \Phi_P \right], & u_w \leq 0. \end{cases}$$



Алгоритм совместного решения уравнений неразрывности и движения

10

h_p^0 – значение величины на предыдущем шаге по времени;

u_e^i – значение величины на предыдущей итерации;

$\{u^*\}$, $\{v^*\}$ – приближенное значение компонент скорости;

$$\left. \begin{aligned} u' &= u_e - u_e^* \\ v' &= v_n - v_n^* \\ h_p' &= h_p - h_p^i \end{aligned} \right\} \text{ поправки для величин.}$$

Алгоритм совместного решения уравнений неразрывности и движения

11

На каждом шаге по времени:

* 1. Задаем $\{u^i\} = \{u^0\}$, $\{v^i\} = \{v^0\}$, $\{h^i\} = \{h^0\}$.

* 2. Записав разностную схему в общем виде

$$a_e^u u_e^* = \sum_{nb} a_{nb}^u u_{nb} + d_e^u (h_E^i - h_P^i) + b_e^u; \quad (1)$$

$$a_n^v v_n^* = \sum_{nb} a_{nb}^v v_{nb} + d_n^v (h_N^i - h_P^i) + b_n^v. \quad (2)$$

решаем (1), (2) методом нижней релаксации и находим $\{u^*\}$, $\{v^*\}$.

* 3. Подставляя в (1), (2) значения $\{u^*\}$, $\{v^*\}$

12

И вычитая из исходных находим формулы поправки для компонент скорости

$$a_e^u u_e' = \sum_{nb} a_{nb}^u u_{nb}' + d_e^u (h_E' - h_P'); \quad (3)$$

$$a_n^v v_n' = \sum_{nb} a_{nb}^v v_{nb}' + d_n^v (h_N' - h_P'). \quad (4)$$

Пренебрегая слагаемыми с суммой, согласно идее С. Патанкара, получаем окончательно

$$u_e = u_e^* + d_e^u / a_e^u (h_E' - h_P'); \quad (6)$$

$$v_n = v_n^* + d_n^v / a_n^v (h_N' - h_P'). \quad (7)$$

* 4. Подставим (6), (7) в уравнение неразрывности

$$\frac{h_P^i - h_P^0}{\tau} + \frac{h_e^i}{\delta x} \left(u_e^* + \frac{d_e^u}{a_e^u} (h_E' - h_P') \right) - \frac{h_w^i}{\delta x} \left(u_w^* + \frac{d_w^u}{a_w^u} (h_P' - h_W') \right) +$$

$$\frac{h_n^i}{\delta y} \left(v_n^* + \frac{d_n^v}{a_n^v} (h_N' - h_P') \right) + \frac{h_s^i}{\delta y} \left(v_s^* + \frac{d_n^v}{a_n^v} (h_P' - h_S') \right) = 0;$$

и решив методом верхней релаксации полученное уравнение, находим $\{h'\}$.

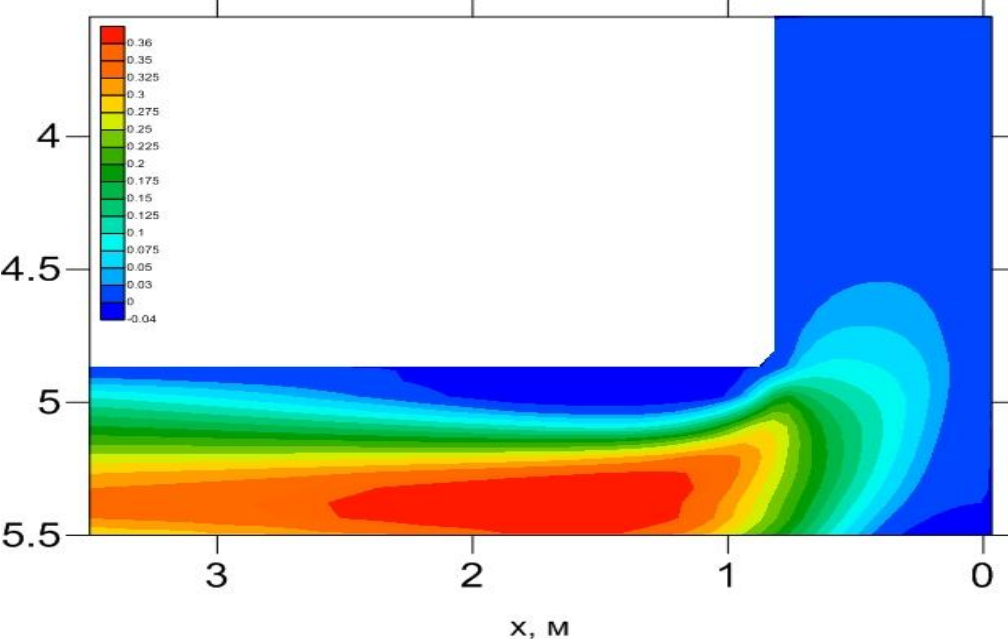
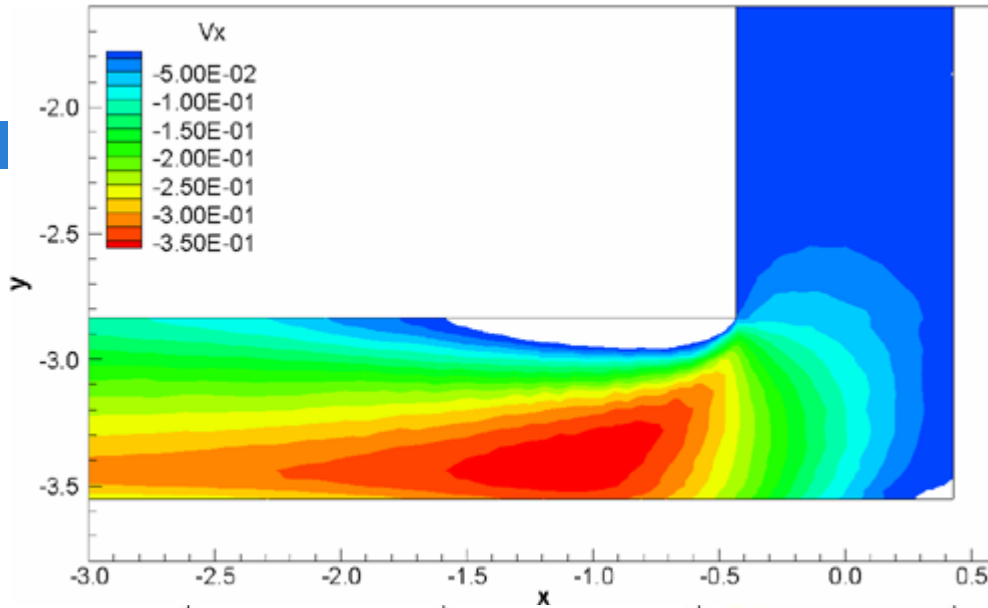
* 5. Корректируем компоненты скорости по (6), (7) и h по

$$h^i = h^i + h'$$

* 6. Если значение $\|h'\|$ велико, то присваиваем $u^i = u, v^i = v$

и переходим к шагу 2.

Распределение \bar{U}



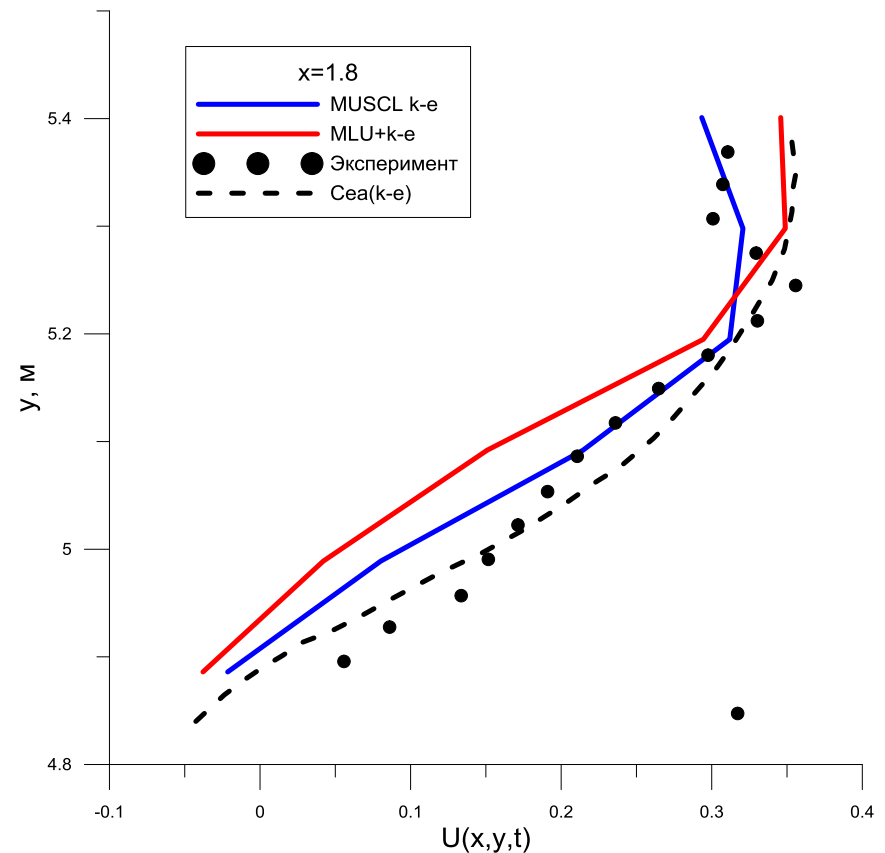
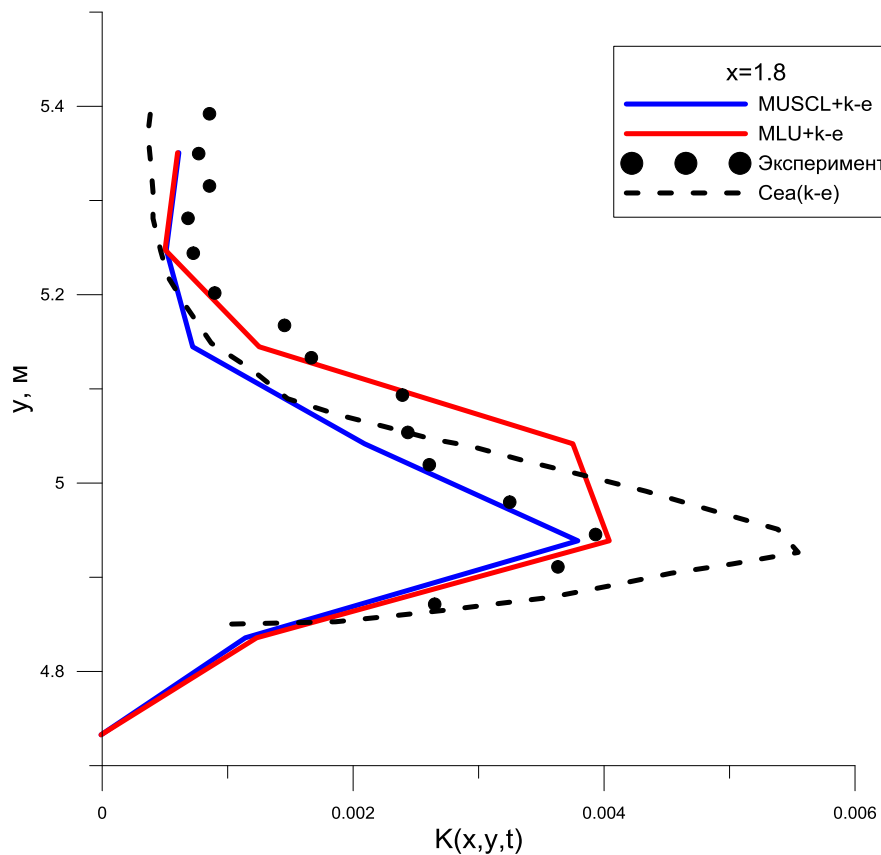
Расчет течения в канале с поворотом под прямым углом.
Входной участок: ширина **0,86м** и ровное дно.
Выходной участок: ширина **0,72м** и ровное дно.
Сразу перед поворотом уровень дна понижается на **0,013м**.

Средняя глубина воды **0,175м**, величина продольной компоненты скорости **0,2м/с**.

Течение в канале с поворотом

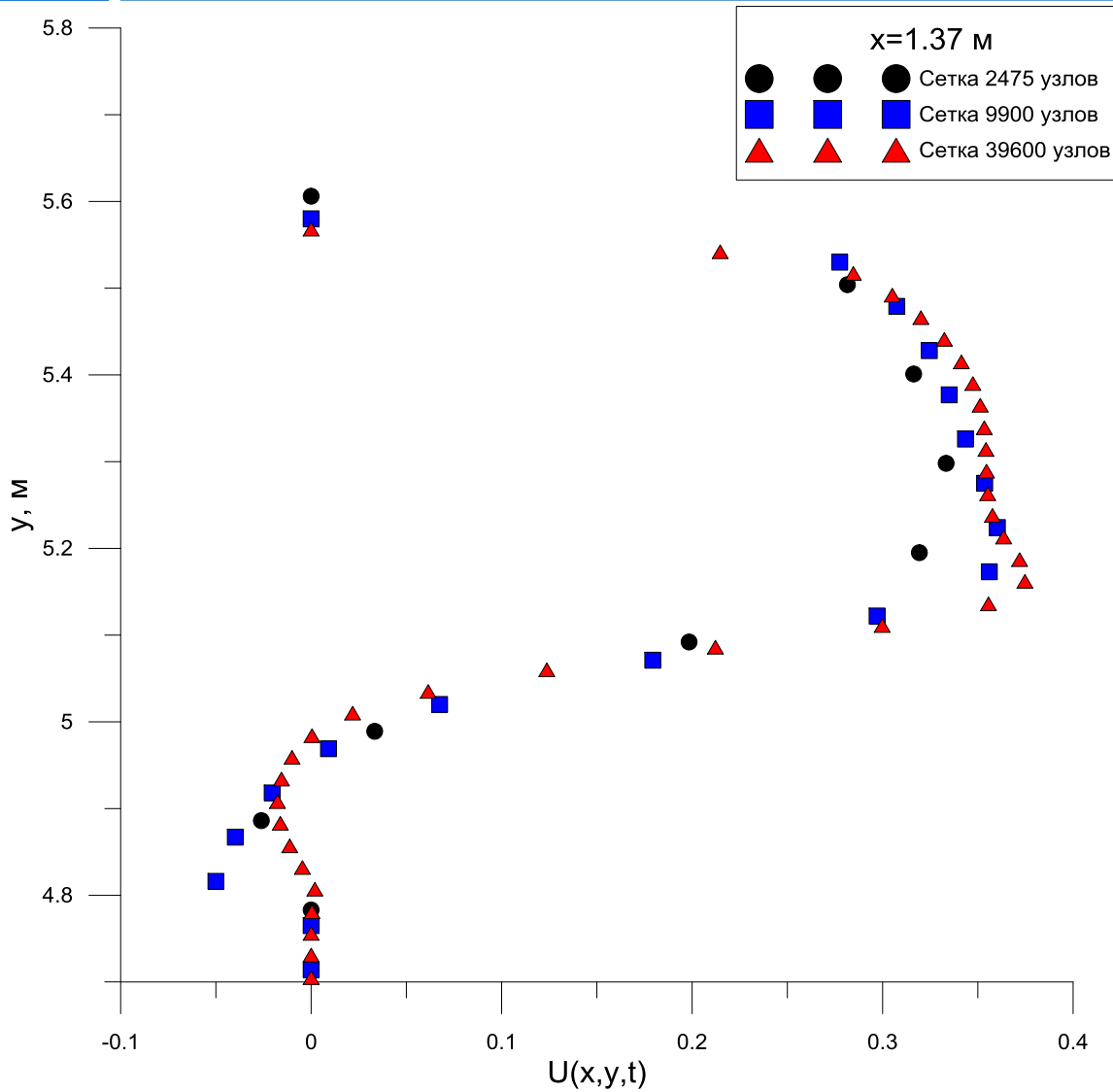
15

Распределение скорости \bar{u} и энергии турбулентности k по ширине канала



Сеточная сходимость решения

16



Продольная компонента скорости в сечении $x=1.37$ м.

Последовательность сеток из 2475, 9900, 39600 узлов.

Боковое втекание с примесью в движущийся поток

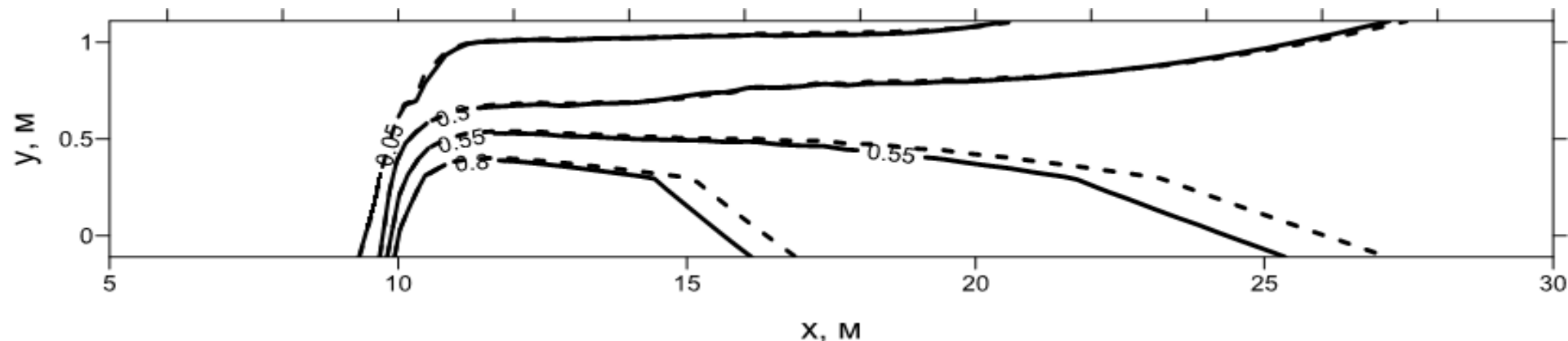
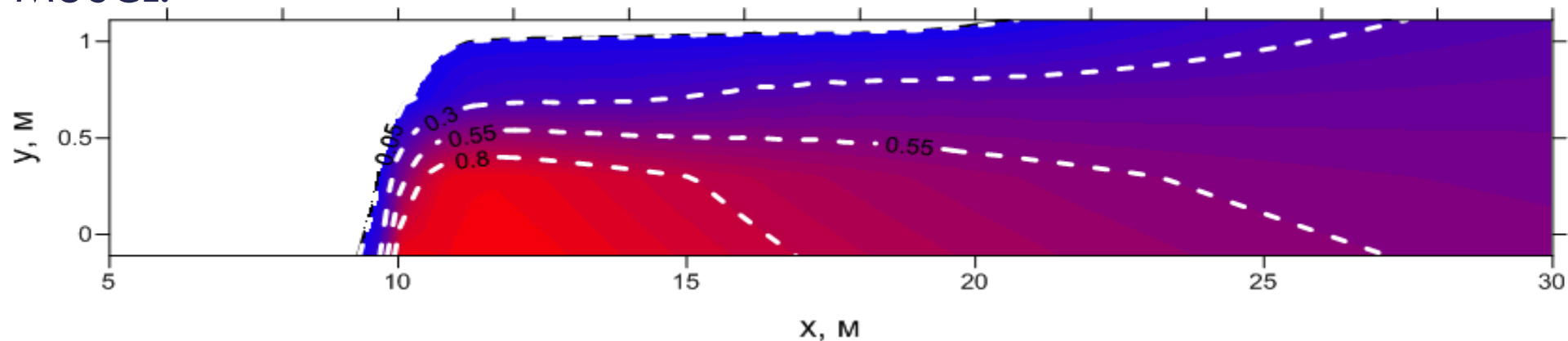
17

Размеры расчетной области: **40м x 1м**.

Отношение скорости притока к скорости течения в канале **0.5**.

Концентрация примеси в притоке **0.1**.

Сплошная линия - расчет по схеме **MLU**, пунктирная – расчет по схеме **MUSCL**.



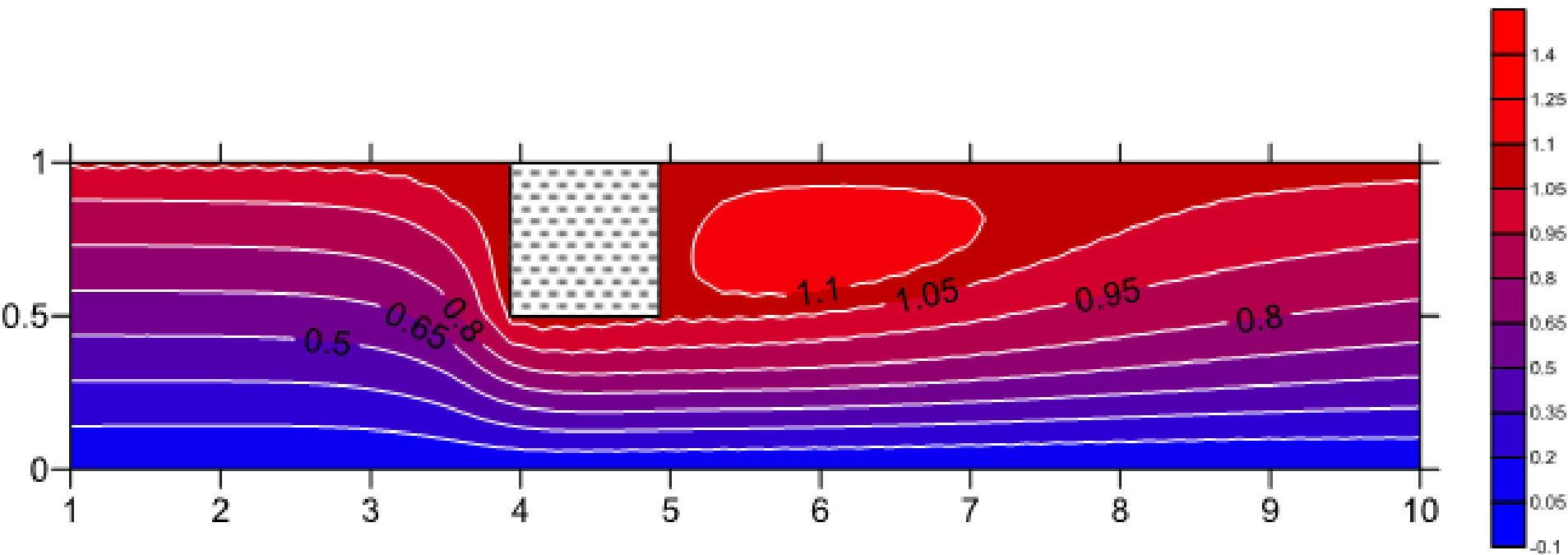
Течение в канале с препятствием

Размеры расчетной области: **24м x 1м.**

Соотношение ширины канала и ширины препятствия **0.5.**

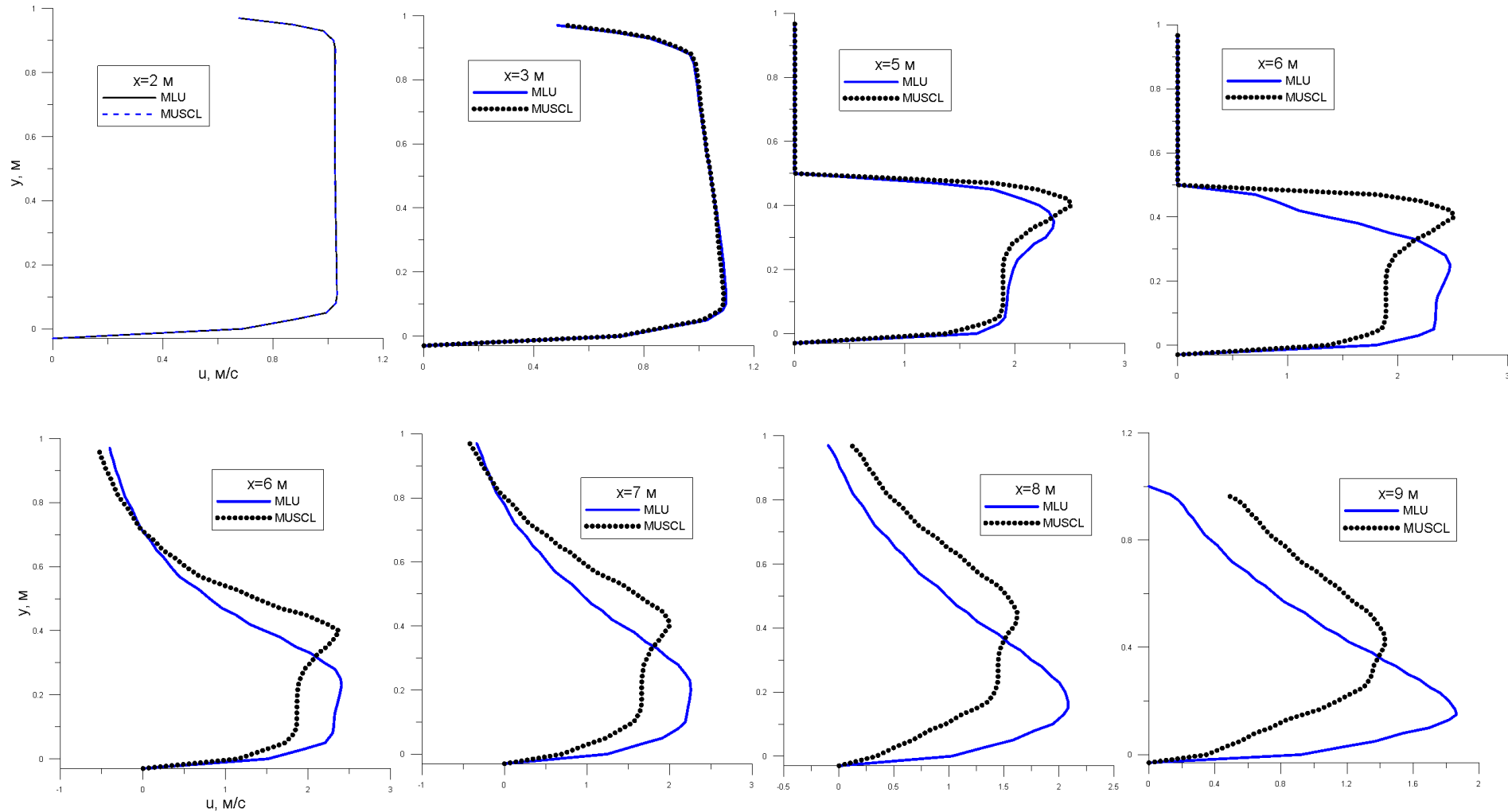
Скорость входного течения **1м/с.**

$$Re \sim 10^5$$



Профили продольной скорости в различных сечениях

19



Выводы

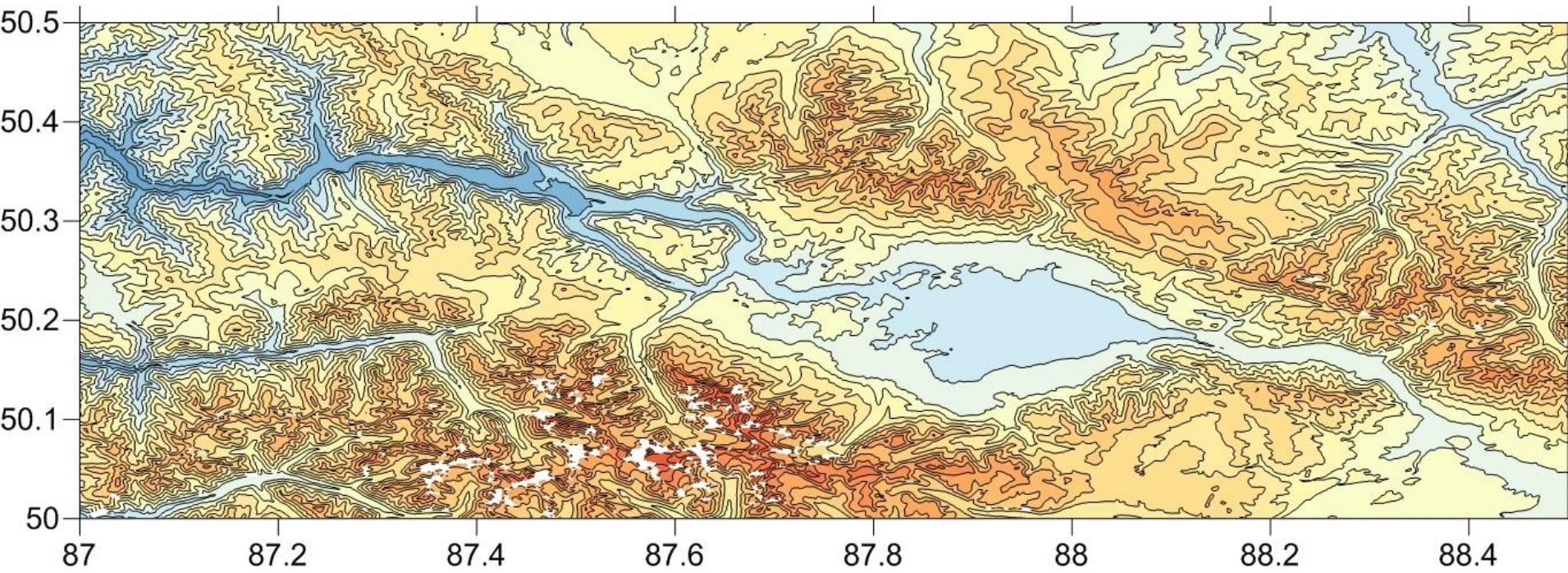
- Тестирование показало, что решатель позволяет получить качественный расчет наиболее важных характеристик течения (размера рециркуляционной зоны, общего расхода воды и уровня турбулентности).
- Осредненные по глубине уравнения хорошо предсказывают появление и размеры циркуляционной зоны за поворотом канала, что представляет значительную трудность при использовании трехмерной модели.
- Схема MUSCLE, обладающая меньшей схемной диффузией, дает более аккуратные численное решение для кинетической энергии турбулентности и профили скорости в сечениях после поворота канала.
- Сравнение численного решения приведенных задач с данными измерений показывает, что осредненные по глубине уравнения корректно воспроизводят основные образцы течения и могут быть использованы для моделирования речного потока.
- Указанные достоинства показывают, что приближение мелкой воды является предпочтительным для расчета природных течений, где вычислительная стоимость решения трехмерных уравнений слишком высока.

Дальнейшие направления исследования

21

Моделирование движения воды в Курайской котловине в процессе опорожнения озер Чуйское и Курайское вниз по Курайской котловине.

Исходные данные: цифровая модель рельефа моделью рельефа, полученной по данным космического зондирования земной поверхности (SRTM матрицы) с разрешением 93 м с севера на юг и 60 м с запада на восток (<http://srtm.csi.cgiar.org>).



Литература

- Cea L., Puertas J., and Vazquez-Cendon M.E. Depth averaged modelling of turbulent shallow water flow with wet-dry fonts // Archives of computational methods in engineering. September 2007. Vol. 14. No. 3. pp. 303-341.
- Kang S., Sotiropoulos F. Numerical modeling of 3D turbulent free surface flow in natural waterways // Advances in Water Resources. 2012. No. 40. pp. 23-36.
- Роди [11] В. Модели турбулентности окружающей среды // In: Методы расчета турбулентных течений. Москва: Мир, 1984. с. 276-278.
- Yu L., Zhu S.P. Numerical Simulation of Discharged Waste Heat and Contaminants into the South Estuary of the Yangtze River // Mathematical and computer modelling. 1993. Vol. 18. No. 12. pp. 107-123.
- Uijtewaal W.S.J. Hydrodynamics of shallow flows: application to rivers // Journal of Hydraulic Research. 2014. Vol. 52. No. 2. pp. 157-172.

Томский государственный университет,
механико-математический факультет,
лаборатория вычислительной геофизики.

Старченко Александр Васильевич,
д. ф.-м. н., профессор. Декан ММФ ТГУ.
starch@math.tsu.ru

Чуруксаева Владислава Васильевна,
аспирант ММФ ТГУ.
chu.vv@mail.ru

СПАСИБО ЗА ВНИМАНИЕ

Работа выполнена в рамках государственного задания
Минобрнауки РФ № 5.628.2014/К.